

TopkvarkII

(S.Tokár, 16.11.2001/)

Základné vlastnosti

Základné konštituenty látky

leptóny	Q	T ₃	Kvarky	Q	T ₃
$\nu_e \nu_\mu \nu_\tau$	0	1/2	uct	2/3	1/2
e μ τ	-1	-1/2	dsb	-1/3	-1/2

Tab.1: Fundamentálne fermióny, Q ≡ elektrický náboj [e], T_3 ≡ slabý izospin.

Hmotnosť -kvarku: $m_{top} = 174.3 \pm 5.1 \text{ GeV}/c^2$

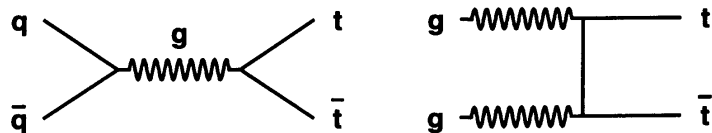
Objavený -kedy: 1995

Kde: Fermilab

1.1 Produkcia topkvarku

Základné mechanizmy produkcie -kvarku (v $p\bar{p}$ (pp)-zrážkach) sú (viď Obr.1):

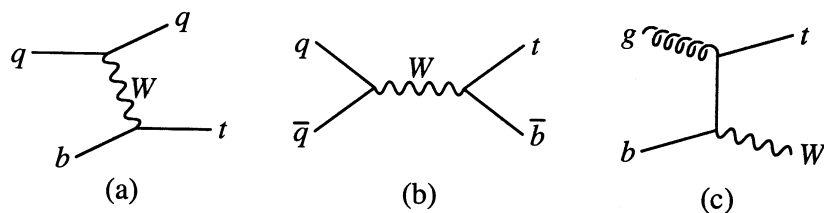
- Kvark-anitikvarková anihilácia
- Gluónová fúzia.



Obr. 1: Dominantné produkcie čierneho mechanizmu pre topkvark.

Dominantné produkcie čierneho mechanizmu sú prostredkovanej silnými interakciami i akvarky sú produkované pároch ($t\bar{t}$).

Produkcia singletného topkvarku sa skutočne využíva prostredníctvom slabých interakcií (Obr.2).



Obr. 2: Produkcia singletného topkvarku v slabej interakcii: (a) t-kanálový proces; (b) s-kanálový proces; (c) asociovaná produkcia topkvarku.

Existujú 3 základé procesy singletopprodukcie:

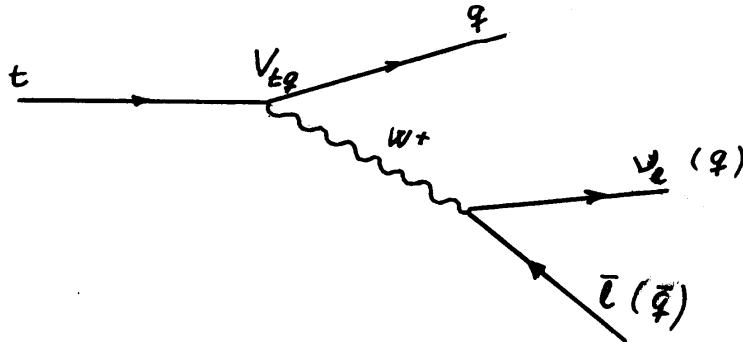
- t -kanálový proces: realizuje sa pomocou priestoru-podobného Wbozónu ($q^2 < 0$). Virtuálny Wbozón je poholtený b -kvarkom z protónovéhomor a meníhona t -kvark.
- s -kanálový proces: času-podobný virtuálny W-bozón (s virtualitou $q^2 > (m_t + m_b)^2$) vzniká a nihláciou kvarkovéhopáru ;
- asociovaná produkcia: single topkvark je produkovaný spolu s reálnym W-bozónom. Jednym z počiatočných chpartónov je b-kvark z protónovéhomora.

1.2 Rozpad t -kvarku

Top-kvarks sú chlorozpadá bez hadronizácie ($m_{top} (\approx 175 \text{ GeV}) \gg M_W (\approx 80 \text{ GeV})$).

Prislabých prechodoch môže t prechádzať na b , sa d kvarky – intenzita prechodu je charakterizovaná elementom V_{tq} ($q = b, c, s$) matice CKM (Obr. 3).

Prakticky: rozpad t -kvarku ide výlučne cez kanált $\rightarrow Wb$ ($V_{tb} \approx 1$).



Obr. 3: Rozpad t -kvarku, amplitúda rozpadu $\rightarrow Wb$ je úmerná elementu matice CKM (V_{tq}).

Rozpadová poloháriká procesu $t \rightarrow Wb$:

$$\Gamma(t \rightarrow Wb) = \frac{G_F m_t^3}{8\pi\sqrt{2}} \left(1 - 3 \frac{M_W^4}{m_t^4} + 2 \frac{M_W^6}{m_t^6} \right) \approx 1.56 \text{ GeV}$$

$$\tau_{top} = \frac{\hbar}{\Gamma(t \rightarrow Wb)} = \frac{6.58 \cdot 10^{-25} \text{ GeV} \cdot s}{1.58 \text{ GeV}} \approx 4 \cdot 10^{-25} \text{ s}$$

Ked'že,

$\tau_{hadr} \approx 10^{-23} \text{ s}$ platí: $\tau_{top} \ll \tau_{hadr}$, teda t -kvarks sa rozpadne ešte pred formovaním hadrónu.

On Measurement of the Top Quark Charge

Status of the Top charge

CDF and D0: The correlations of the b quarks and the W bosons in
 $p\bar{p} \rightarrow t\bar{t} \rightarrow W^- W^+ b\bar{b}$ are not determined!

Consequence:

Besides the SM charge assignment ($Q_{top} = +2/3$), the „top quark“
could be an exotic quark with charge $Q_{top} = -4/3$.

$$SM: \quad t \rightarrow b W^+ \rightarrow b l^+ \nu$$
$$Exot.: \quad \tilde{t} \rightarrow b W^- \rightarrow b l^- \nu$$

Moreover the present precision electroweak data are fully consistent with a charge quark of mass $\approx 170 \text{ GeV}$. $-4/3$

How to determine top charge:

- By measuring the charge of its decay product (W boson, b jet)
- Via photon radiation in $t\bar{t}$ events: ($p\bar{p} \rightarrow t\bar{t}\gamma$) and $p\bar{p} \rightarrow t\bar{t}, t \rightarrow W b \gamma$) – the $t\bar{t}\gamma$ cross section $\sim Q_{top}^2$.

The top charge measurement via photon radiation $t\bar{t}$ events.

Topquark can radiate photons in:

- Top production $pp \rightarrow t\bar{t}\gamma$
- Top decay: $pp \rightarrow t\bar{t}, \quad t \rightarrow W b \gamma$

For the top quark charge analysis are suitable:

- Dilepton events: $pp \rightarrow \gamma b\bar{b}(l\nu)(l\nu)$
- Lepton+jet events: $pp \rightarrow \gamma l^\pm \nu b\bar{b} jj$

Lepton+jets modes analysis (by *Bauer et al.*)

3 contributions to $pp \rightarrow \gamma l^\pm \nu b\bar{b} jj$:

- Radiation in top production: $pp \rightarrow t\bar{t}\gamma \rightarrow \gamma l^\pm \nu b\bar{b} jj$:
- Radiative top decay: $pp \rightarrow t\bar{t} \rightarrow \gamma W^+ b W^- \bar{b} \rightarrow \gamma l^\pm \nu b\bar{b} jj$ (t or \bar{t} quark decays radiatively $-t \rightarrow W b \gamma$)
- Radiative W decay: $pp \rightarrow t\bar{t} \rightarrow W^+ b W^- \bar{b} \rightarrow \gamma l^\pm \nu b\bar{b} jj$, W decays radiatively, $W \rightarrow l \nu \gamma \rightarrow jj \gamma$.

Suppression of radiative W decay:

$$m(jj\gamma) > 90 \text{ GeV} \quad \text{and} \quad m_T(l\gamma; \mathbf{p}_T) > 90 \text{ GeV}$$

where \mathbf{p}_T is missing transverse momentum,

$m_T(l\gamma; \mathbf{p}_T)$ is the $l\gamma \mathbf{p}_T$ cluster transverse mass:

$$m_T^2(l\gamma; \mathbf{p}_T) = \left(\sqrt{\mathbf{p}_T^2(l\gamma) + m^2(l\gamma)} + \mathbf{p}_T^2 \right)^2 - (\mathbf{p}_T(l\gamma) + \mathbf{p}_T)^2$$

The matrix elements for $gg, \bar{q}q \rightarrow t\bar{t}\gamma \rightarrow \gamma l^\pm \nu b\bar{b}jj$

were calculated using MADGRAPH+HELAS library (the spin correlations for the top decay).

For the numerical simulations the set of SM input parameters were used:

$$m_{top} = 175 \text{ GeV}, m_b = 5 \text{ GeV}, M_W = 80.3 \text{ GeV}, \sin^2 \theta_W = 0.23 \text{ and } \alpha(M_W) = 1/128.$$

MRSR2 parton distribution functions employed.

Applied cuts (for LHC) :

$$p_T(b) > 15 \text{ GeV} \quad |\eta(b)| < 2$$

$$p_T(l) > 20 \text{ GeV} \quad |\eta(l)| < 2.5$$

$$p_T(j_{1,2}) > 20 \text{ GeV} \quad |\eta(j_{1,2})| < 2.5$$

$$p_T(\gamma) > 30 \text{ GeV} \quad |\eta(\gamma)| < 2.5$$

$$\mathbf{p}_T > 20 \text{ GeV} \quad \Delta R(i,j) > 0.4 \text{ for } i \neq j$$

$$m(jj\gamma) > 90 \text{ GeV} \quad \text{and} \quad m_T(l\gamma; \mathbf{p}_T) > 90 \text{ GeV}$$

η is pseudorapidity and $\Delta R(i,j) = \sqrt{\Delta\phi(i,j)^2 + \Delta\eta(i,j)^2}$ is the separation

between 2 particles i and j in the pseudorapidity and azimuthal angle plane.

No background processes were considered.

The events passing the LHC cuts can be divided into 3 samples:

1. events satisfying $t\bar{t}\gamma$ cuts

$$m(bj j\gamma) > 190 \text{ GeV} \quad \text{and} \quad m_T(bl\gamma; \mathbf{p}_T) > 190 \text{ GeV} \text{ (radiative)}$$

top quark decay suppressed – almost pure $t\bar{t}\gamma$ sample)

2. for $m_T(b_{1,2}l\gamma; \mathbf{p}_T) < 190 \text{ GeV}$ and $m_T(b_{1,2}jj\gamma) > 190 \text{ GeV}$

process $\underline{pp \rightarrow t\bar{t}, t \rightarrow Wb\gamma, W \rightarrow l\nu}$ dominates ($t \rightarrow Wb\gamma, W \rightarrow l\nu$ cuts)

3. for

$$m_T(b_{1,2}l\gamma; \mathbf{p}_T) > 190 \text{ GeV} \quad \text{and} \quad 150 \text{ GeV} < m_T(b_{1,2}jj\gamma) < 190 \text{ GeV}$$

process $\underline{pp \rightarrow t\bar{t}, t \rightarrow Wb\gamma, W \rightarrow jj}$ dominates ($t \rightarrow Wb\gamma, W \rightarrow jj$ cuts)

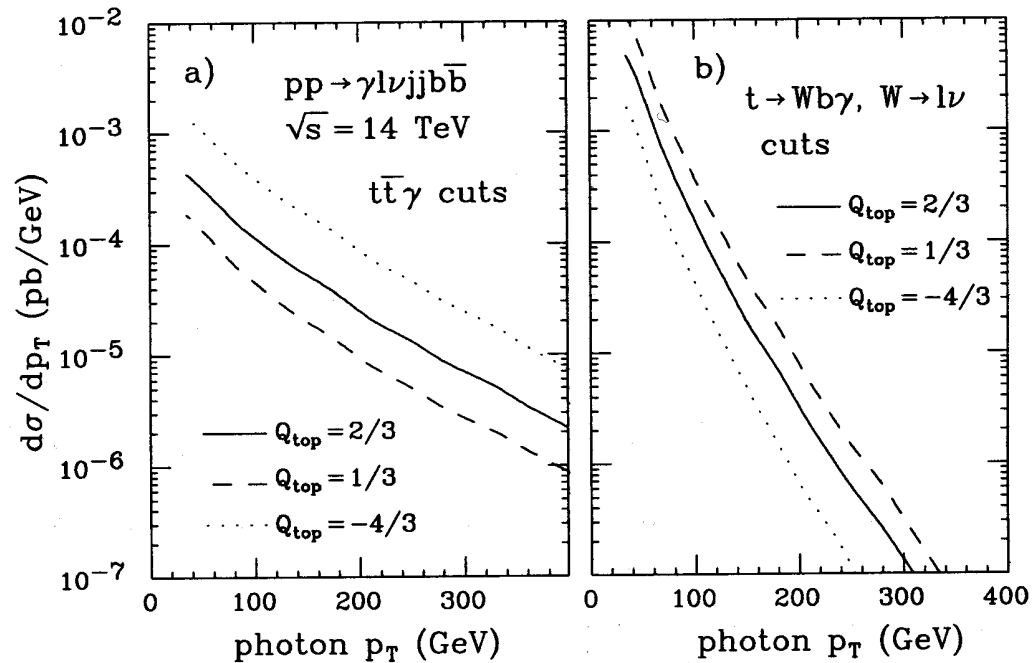


Fig. 1: The differential cross section for the photon p_T in the reaction $pp \rightarrow \gamma l\nu jj b\bar{b}$ at the LHC for 3 different "top" quark charges.

The top charge determined via its decay products.

The events sample less suitable for the analysis:

- *Dilepton decays* ($t\bar{t} \rightarrow (l\nu)(l\nu)b\bar{b}$)
- *Semilepton decays* ($t\bar{t} \rightarrow (l\nu)(j\bar{j})b\bar{b}$) can be used.

Remark. All jet decay modes are not suitable due to the high QCD background.

The b -jet charge can be determined via the charges of the tracks belonging to the jet (DELPHI collab.):

$$q_{bjet} = \frac{\sum_i q_i |\vec{j} \cdot \vec{p}_i|^\kappa}{\sum_i |\vec{j} \cdot \vec{p}_i|^\kappa} \quad (1)$$

Where:

$q_i(\vec{p}_i)$ is the charge (momentum) of a b -jet track,

\vec{j} is the b -jet direction and κ an exponent.

Production of the $t\bar{t}$ pairs in LHC

Type event	Branching(%)	#events/10fb $^{-1}$
$t\bar{t} \rightarrow WWb\bar{b} \rightarrow (jj)(jj)b\bar{b}$	65.5	5500000
$t\bar{t} \rightarrow WWb\bar{b} \rightarrow (l\nu)(jj)b\bar{b}$	29.6	250 0000
$t\bar{t} \rightarrow WWb\bar{b} \rightarrow (l\nu)(l\nu)b\bar{b}$	4.9	400000

Choice criteria for the di-lepton sample

Applied cuts to $t\bar{t} \rightarrow WWb\bar{b} \rightarrow (l\nu)(l\nu)b\bar{b}$
<ol style="list-style-type: none"> Two isolated high p_T leptons (e, μ) $p_T^{(1)} > 35 \text{ GeV}, p_T^{(2)} > 25 \text{ GeV}$ and $\eta < 2.5$ Big missing transverse energy $E_T^{miss} > 40 \text{ GeV}$ At least <i>two</i> b-jets with $p_T > 25 \text{ GeV}$ (one or two tagged as b-jets) Z-boson cut: $M^H - M^Z > 10 \text{ GeV}$ (if leptons of the same type — $ee, \mu\mu$)

PYTHIA6.125simulations : the charged distribution in $b(\bar{b})$ jets.

- The $b(\bar{b})$ jet charge found by the weighting(1) using $\kappa=1.0$
- Criterion for the choice of jet tracks: $R(part,b)<0.2$

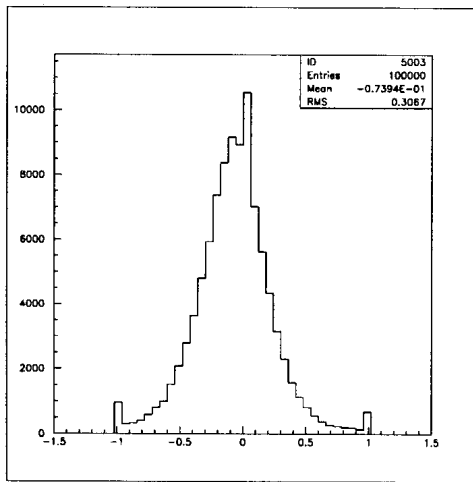


Fig. 2:The b -jet chargedistribution
(PYTHIA6.1)

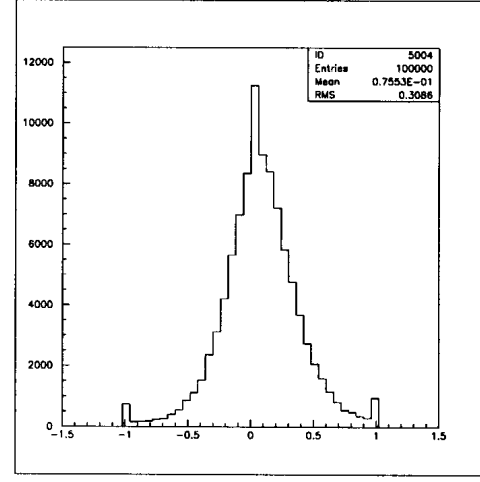


Fig. 3:The \bar{b} -jet chargedistribution
(PYTHIA6.1)

$$R = \sqrt{(\Delta\varphi)^2 + (\Delta\eta)^2}$$

Where φ is azimuth angle and η is pseudorapidity

Reconstruction the b -jet charge by ATLAFAST.

Choice of events : di-lepton events from $t\bar{t}$ decays.

Applied cuts:

- Two b -jets with $p_t(b\text{-jet}) > 25 \text{ GeV}/c$
- Two opposite charge leptons with $p_t(l^\pm) > 35 \text{ GeV}/c$ ($25 \text{ GeV}/c$)

Assignment of leptons and b -jets: (l^+, b -jet) and (l^-, b -jet) via

restrictions on the lepton-jet invariant mass (**M_{inv}-cut**).

$$m(l^+, b_{jet}) < m_{top} \quad \text{and} \quad m(l^-, b_{jet}) > m_{top}$$

$$m(l^-, \bar{b}_{jet}) < m_{top} \quad \text{and} \quad m(l^+, \bar{b}_{jet}) > m_{top}$$

Track choice for b -jet's requirement: $R(b_{jet}, track) < 0.4$

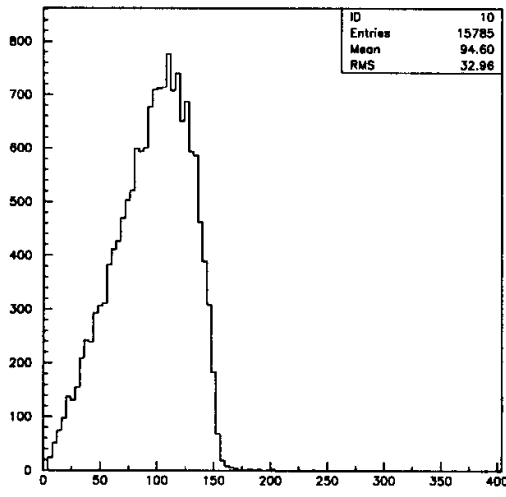


Fig. 4: Invariant mass $m(l, b_{jet})$ for l and b -jet from the same top quark

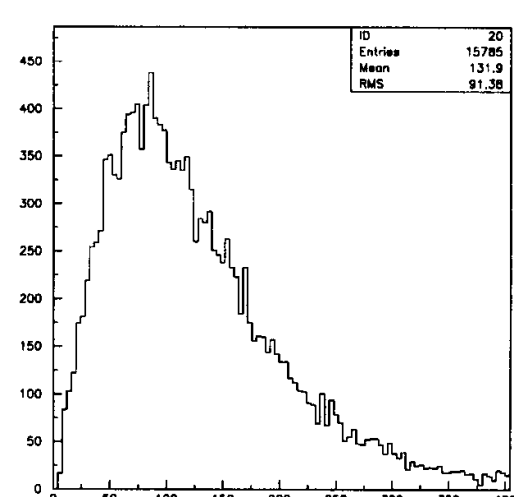


Fig. 5: Invariant mass $m(l, b_{jet})$ for l and b -jet from different top quarks

Efficiency of M_{inv} -cut

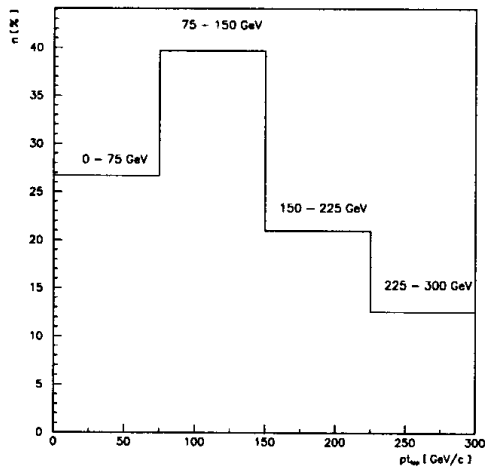


Fig. 6: The top quark p_t distribution

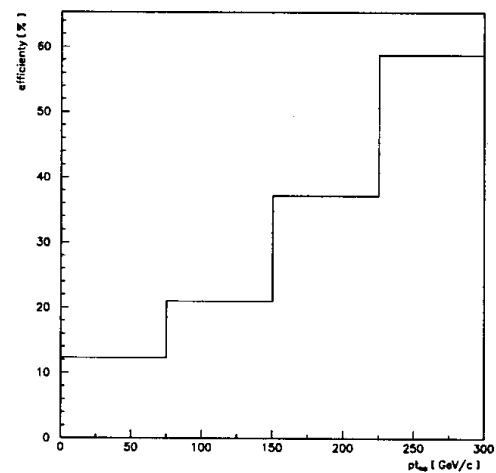


Fig. 7: The relative efficiency of M_{inv} -cut

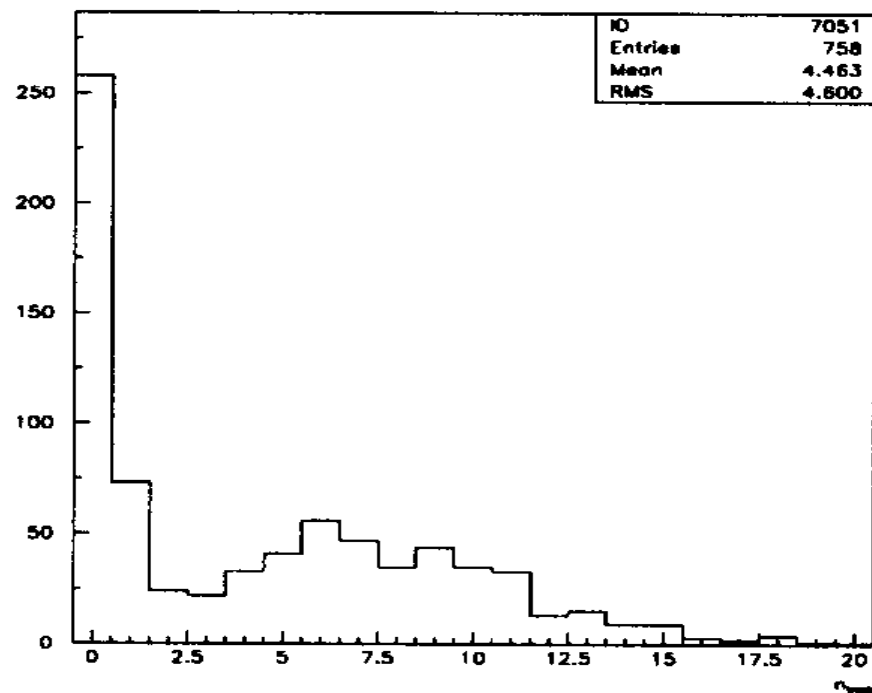


Fig. 8: Tracking efficiency for the $b\bar{b}$ -jet tracks ($R < 0.4$ used).

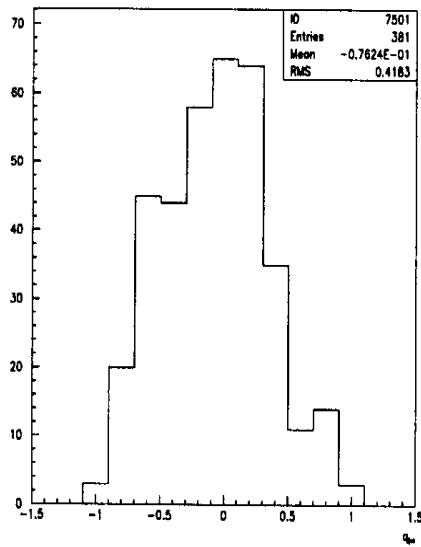
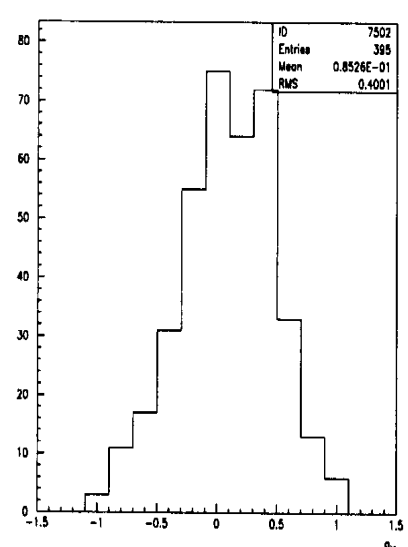


Fig. 9:The b -jet charged distribution(2b jets)



- Fig. 10:The \bar{b} -jet charged distribution (2 b -jets)

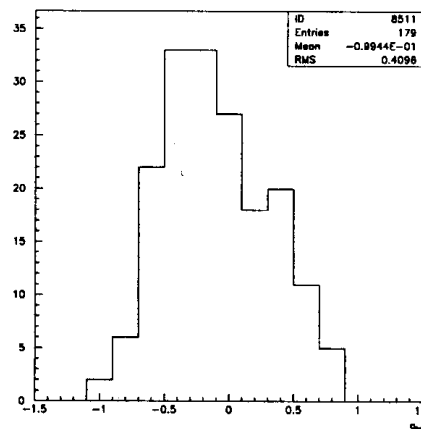


Fig. 11:The b -jet charged distribution(1 b -jets)

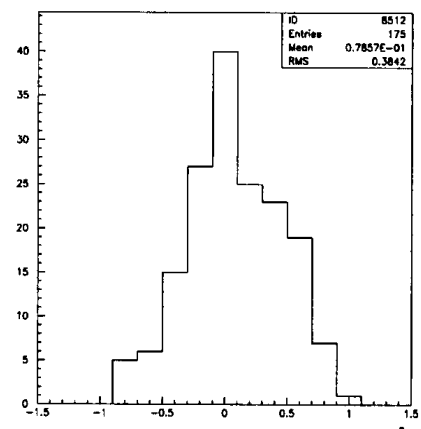


Fig. 12:The \bar{b} -jet charged distribution (1 b -jets)

Thereconstructed $b(\bar{b})$ -jetchargedistributions

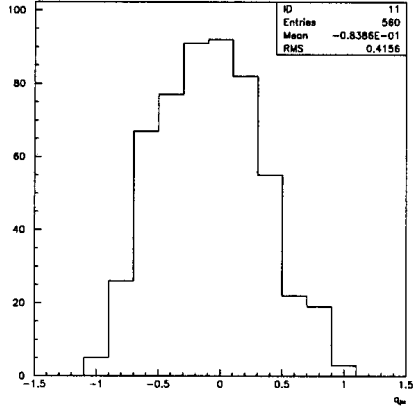


Fig. 13: Distribution of the b -jet charge

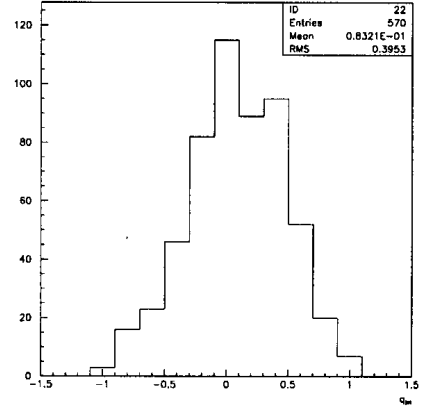


Fig. 14: Distribution of the \bar{b} -jet charge

The obtained mean charges (after rescaling):

$$q(b_{jet}) = -0.0839 \pm 0.018 \quad \text{and} \quad q(\bar{b}_{jet}) = 0.0832 \pm 0.017$$

Statistics:

#of $t\bar{t}$ events	480000
#of dilepton events	22183
#of dilepton events after cuts, $1b_{jet}$ ($2b_{jet}$)	1951(1747)
#of dilepton events after M_{inv} -cut	744(758)
#of dilepton .. after tracks recon.	b_{jet} 179(381) \bar{b}_{jet} 175(381)

The Chargedistributionin $b(\bar{b})$ strings –PYTHIA6.125simulations.

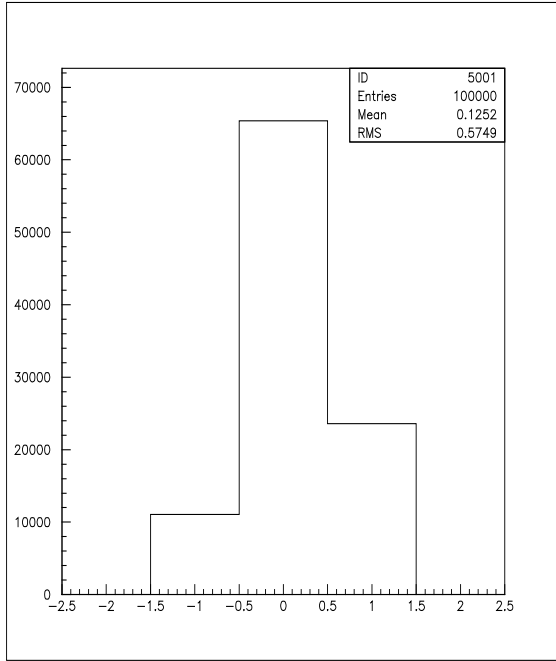


Fig. 15:The b -stringcharge(PYTHIA6.1)

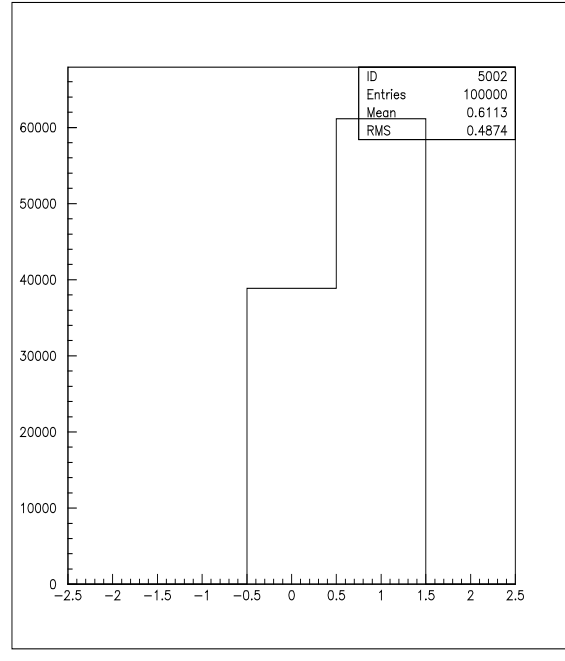


Fig. 16:The \bar{b} -stringcharge(PYTHIA6.1)

The b -jetcharge forthedifferent κ values

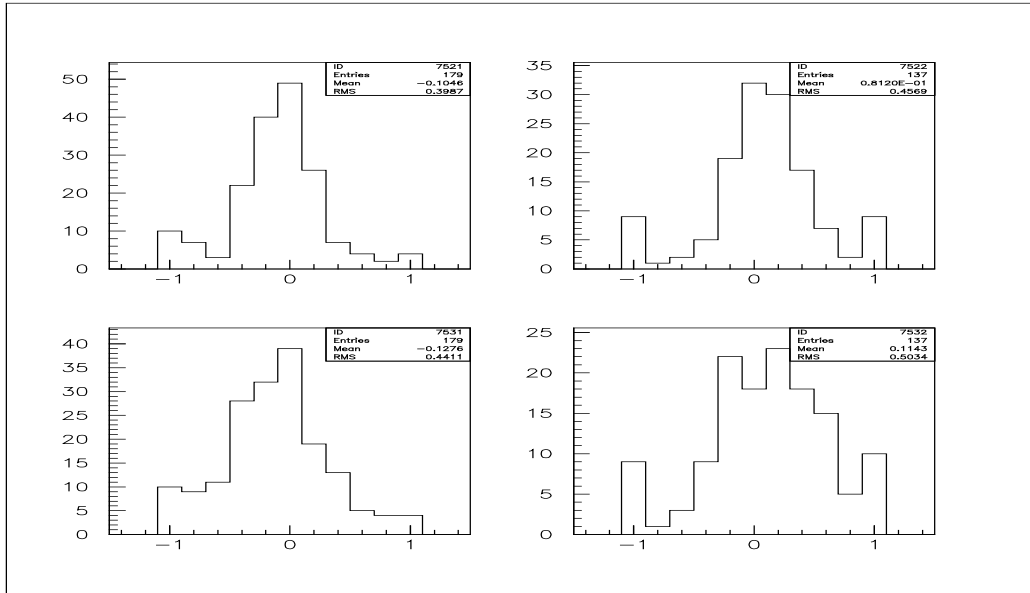


Fig. 17:The b -jetchargedistributionfor $\kappa=0.8$ and1.0.

3.Nepriamesvedectvá existencie -kvarku

3.1 Predo -zadná asymetria(FB -asymmetry)

Akuvažujemeproces $e^+e^- \rightarrow f\bar{f}$, tak tentoproces(vi d'.diagramy na obr.1) v dôsledku interferenci medzivektorovou aaxiálne -vektorovou časťouamplitúdy Z -výmeny interferencie a mplitúds Z-bozónom a fotónom vedie k asymetrii od predu(F) a zad(B) produkovaných fermiónov($f(\bar{f})$):

$$\text{Top Diagram: } e_0^2 \frac{Q_e Q_f}{s} \gamma_\mu \otimes \gamma^\mu$$

$$\text{Bottom Diagram: } \frac{e_0^2}{4s_W^{0.2} c_W^{0.2}} \frac{[\gamma_\mu(I_3^e - 2Q_e s_W^{0.2}) - I_3^f \gamma_\mu \gamma_5] \otimes [\gamma^\mu(I_3^f - 2Q_f s_W^{0.2}) - I_3^f \gamma^\mu \gamma_5]}{s - M_Z^{0.2}}$$

$$A_{FB}^{(f)} = \frac{\sigma_F - \sigma_B}{\sigma_F + \sigma_B}, \quad (3.1)$$

kde σ_F (σ_B) je účinný prierez produkcie fermiónu f dopredu (dozadu).

Pre asymetriu A_{FB} pri hmotnosti Z -bozónu ($s = M_Z^2$), zá predpokladu ne polarizovaných zväzkov, zanedbanie γ -výmeny γZ -interferencie, platí:

$$A_{FB}^{(f)} = \frac{3}{4} A_e A_f + \dots, \quad A_f = \frac{2g_V^f g_A^f}{(g_V^f)^2 + (g_A^f)^2} \quad (3.2)$$

kde

$$g_V^f = \sqrt{\rho_f} (I_3^f - 2Q_f s_w^2) \quad g_A^f = \sqrt{\rho_f} I_3^f, \quad f = e, \mu, \tau, s, c, b$$

$s_w = \sin \theta_w$ jeuholelektroslabého zmiešavania, ρ_f = elektroslabé korekcie

Porovnanie experimentálne zmeranej asymetrie pre produkciu $b\bar{b}$ s predpovedou SM:

$A_{FB}^{(b)}(s = M_Z^2)$	Experiment (MeV)	Štandardný model	
		$I_3^b = -\frac{1}{2}$	$I_3^b = 0$
	0.0984 ± 0.0024	0.1030 ± 0.0009	0.

3.2 Pološírkarezpadu $Z \rightarrow b\bar{b}$

SM pre pološírku rozpadu $Z \rightarrow b\bar{b}$ dáva:

$$\Gamma(Z \rightarrow b\bar{b}) = \frac{G_F M_Z^3}{6\sqrt{2}\pi} (g_V^2 + g_A^2) \cdot C_{QCD} = \frac{G_F M_Z^3}{3\sqrt{2}\pi} ((I_3^b - Q_b s_W^2)^2 + Q_b^2 s_w^4) \cdot C_{QCD} \quad (3.3)$$

kde

$$C_{QCD} = 3 \left(1 + \frac{\alpha_s}{\pi} + 1.409 \frac{\alpha_s^2}{\pi^2} - 12.77 \frac{\alpha_s^3}{\pi^3} \right) \quad (3.4)$$

predstavuje QCD -korekcie (faktor 3 je farebný faktor).

Porovnanie experimentu s predpovedami SM:

$\Gamma(Z \rightarrow b\bar{b})$	Experiment (MeV)	Štandardný model	
		$I_3^b = -\frac{1}{2}$	$I_3^b = 0$
		377.4 ± 2.1	376.0 ± 0.1
			24.2 ± 0.1

3.3 Neprítomnosť FCNC (flavormeniacene neutrálne prúdy).

Kvarkové tavy uvedené v Tab. 1 sú vlastnými stavmi labého izospinu, noniesú vlastnými stavmi labých interakcií. Flavorovými čistými stavmi sú kvarky d', s' a b' :

$$\begin{pmatrix} d' \\ s' \\ b' \end{pmatrix} = \begin{pmatrix} V_{ud} & V_{us} & V_{ub} \\ V_{cd} & V_{cs} & V_{cb} \\ V_{td} & V_{ts} & V_{tb} \end{pmatrix} \begin{pmatrix} d \\ s \\ b \end{pmatrix} \quad (3.5)$$

Kde

V je unitárna matice ($V^\dagger V = \mathbf{1}$) nazývaná CKM-maticou (Cabibbo, Kobayashi, Maskawa). Nediagonálnosť CKM -maticy znamená, že v prítomnosti slabých chlúpov menia sa vlastnosti kvarkov. Napríklad prechody $b \xrightarrow{W} c, u$ a $s \xrightarrow{W} u$ sú skutočne časovo neustálne, ale s väzbovým konštantami umernými V_{cb}, V_{ub} a V_{ts} .

V prípade, že b -kvark má izospinového partnera (slabý izospin), t.j., že existuje t -kvark, potom v dôsledku unitarity V a univerzality väzby Z k 3 generáciám saväzbových konštant slabých neutrálnych prúrov meniacich flavorov vyrušia:

$$Z_\mu (\bar{d}' \Gamma^\mu d' + \bar{s}' \Gamma^\mu s' + \bar{b}' \Gamma^\mu b') = Z_\mu (\bar{d} \Gamma^\mu d + \bar{s} \Gamma^\mu s + \bar{b} \Gamma^\mu b) \quad (3.6)$$

Kde

$$\Gamma_\mu^f = i \frac{g}{2c_w} \gamma_\mu (v_f - a_f \gamma_5) = i \frac{g}{2c_w} \gamma_\mu ((I - \gamma_5) I_3^f - 2Q_f s_w^2) = \Gamma_\mu^{(f)I} + \Gamma_\mu^{(f)\varrho} \quad 3.7$$

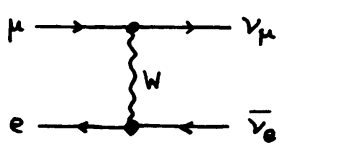
Vzťah 3.6 platí len v prípade, že $\Gamma_\mu^f = \Gamma_\mu$ pre $f = d, s, b$. Ak však b je izotopický singlet, teda $\Gamma_\mu^{(b)I} = \mathbf{0}$, zatiaľ čo $\Gamma_\mu^{(d)I} = \Gamma_\mu^{(s)I} \neq \mathbf{0}$. To vedie k tomu, že väzbové konštanty slabých neutrálnych prúrov meniacich flavorov pre procesy $Z\bar{b}s, Z\bar{b}d$ sú úmerné $V_{tb}^* V_{ts}, V_{tb}^* V_{td}$, čo znamená, že rýchlosť rozpadov via slabé neutrálne prúdy meniacich flavorov ako $b \xrightarrow{Z} s, d$ je rovnaká akor prípady rozpadov $b \xrightarrow{W} c, u$.

Prakticky by to znamenalo, že rozpad $b \rightarrow \mu^+ \mu^- X$ by mal branching ratio $\geq 1\%$, čo nepozoruje ($B_{exp} < 6.8 \cdot 10^{-7}$, CL 90%).

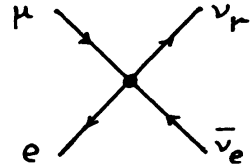
4. Topkva rka precízna elektroslabáfyzika

4.1 Fermihokonštantaa parametre SM

Uvažujme rozpad miónu $\mu^- \rightarrow e^- \bar{\nu}_e \nu_\mu$.



$$M_w \gg m_\mu$$



$$i \left(\frac{e}{2\sqrt{2} s_w} \right)^2 \frac{J_{CC}^{(\mu)} \cdot J_{CC}^{(e)}}{q^2 - M_w^2}$$

$$i \frac{G_\mu}{\sqrt{2}} J_{CC}^{(\mu)} \cdot J_{CC}^{(e)}$$

Kde $J_{CC}^{(l)} = \bar{u}_l \gamma_\mu (1 - \gamma_5) u_l$ je nabity slabý prúd ($l = e, \mu$).

Dôležitý moment:

charakteristická škala slabých interakcií ($1/M_W$) << charakteristická škala μ /rozpadu ($1/m_\mu$).

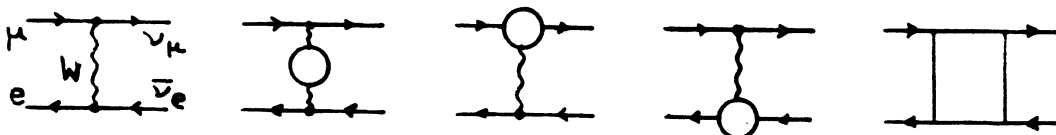
Vzťah medzi Fermihokonštantou a parametrami SM:

$$\frac{G_F}{\sqrt{2}} = \frac{e^2}{8s_w^2 M_w^2} \quad (4.1)$$

Keď zovzťahu (1) vypočítame M_W – dostaneme: $M_W = 77.6 \text{ GeV}$, zatiaľ čo experimentálna hodnota je $M_W = 80.419 \pm 0.056 \text{ GeV}$.

Dôvod rozdielu: nebralismedoúvahy korekcie vysíchrádov!

4.2 Korekcie vysíchrádov, Dra t-kvark



$$\frac{G_F}{\sqrt{2}} = \frac{e_0^2}{8s_w^{02} M_w^{02}} \left[1 + \frac{\Sigma^W(0)}{M_w^2} + (\text{vertex, box}) \right] \quad (4.2)$$

Kde

e_0, s_w^0, M_w^0 sú holé parametre (náboj, $\sin \theta_W$, hmotnosť Z)

$\Sigma^W(0)$ je vlastná energia W -bozónu.

Porenormalizácií, ktorá spočívav tom, že vypočítame príspevky vyšších rádov pre definujeme základné parametre, t.j. prejdeme o dôležitých parametoch e_0, s_w^0, M_w^0 k fyzikálnej nepozorovaným e, s_w, M_w , dostaneme:

$$\frac{G_F}{\sqrt{2}} = \frac{e^2}{8s_w^2 M_w^2} (1 + \Delta r) \quad (4.3)$$

Kde Δr je konečná hodnota činnosti, ktorá je závislá na e, M_W, M_Z, M_H, m_t predstavujúcich výsledok zahrnutia vyšších rádov dásavy jadri takto

$$\Delta r = \Delta \alpha - \frac{c_w^2}{s_w^2} \Delta \rho + (\Delta r)_{rem} \quad (4.4)$$

kde $\Delta \alpha$ predstavuje korekcie 2. rádu propagátora fotónu od ľahkých fermiónov:

$$\Delta \alpha = -\text{Re } \hat{I}^{rr}(M_Z^2) = \sum_f Q_f^2 \frac{\alpha}{3\pi} \left(\frac{5}{3} - \log \frac{M_Z^2}{m_f^2} \right) \quad (4.5)$$

$\Delta \rho$ predstavuje korekcie 2. rádu propagátora W bosónu:

$$\Delta \rho = N_c \frac{\alpha}{16\pi s_w^2 c_w^2} \frac{m_t^2}{M_Z^2} \quad (4.6)$$

($N_c = 3$ je počet farieb).

$(\Delta r)_{rem}$ predstavuje všeobecné korekcie v čítane logaritmického závislosti o dôležitosti t -kvarku a Higgsa v hoberzóne:

$$(\Delta r)_{rem}^{top} = \frac{\alpha}{4\pi s_w^2} \left(\frac{c_w^2}{s_w^2} - \frac{1}{3} \right) \log \frac{m_t}{M_Z} + \quad (\Delta r)_{rem}^{Higgs} = \frac{\alpha}{16\pi s_w^2} \frac{11}{3} \left(\log \frac{M_H^2}{M_W^2} - \frac{5}{6} \right) \quad (4.7)$$

Vzťah 4.4 je možné použiť na určenie ďalšej hodnoty kvarku t - $\Delta \alpha = 0.0602 \pm 0.0009$, typická hodnota $(\Delta r)_{rem} \approx 0.01$. Výpočty sú výhľadom:

$$m_t = 168.2 \begin{array}{l} +9.6 \\ -7.4 \end{array} \text{ GeV}$$

Poznámka 1. Vzťah 4.7 umožňuje urobiť aj ohľad na ďalšiu hodnosť Higgsa v hoberzóne.

Poznámka 2. Efekty vyšších (všetkých) rádov poruchovejteorie sú možné získanou:

$$1 + \Delta r \rightarrow \frac{1}{1 - \Delta r}$$